



65-я научная конференция МФТИ

Секция динамики и управления движением космических аппаратов



Относительное движение космических аппаратов на гиперболических траекториях

Перепухов Д.Г.^{1,2}

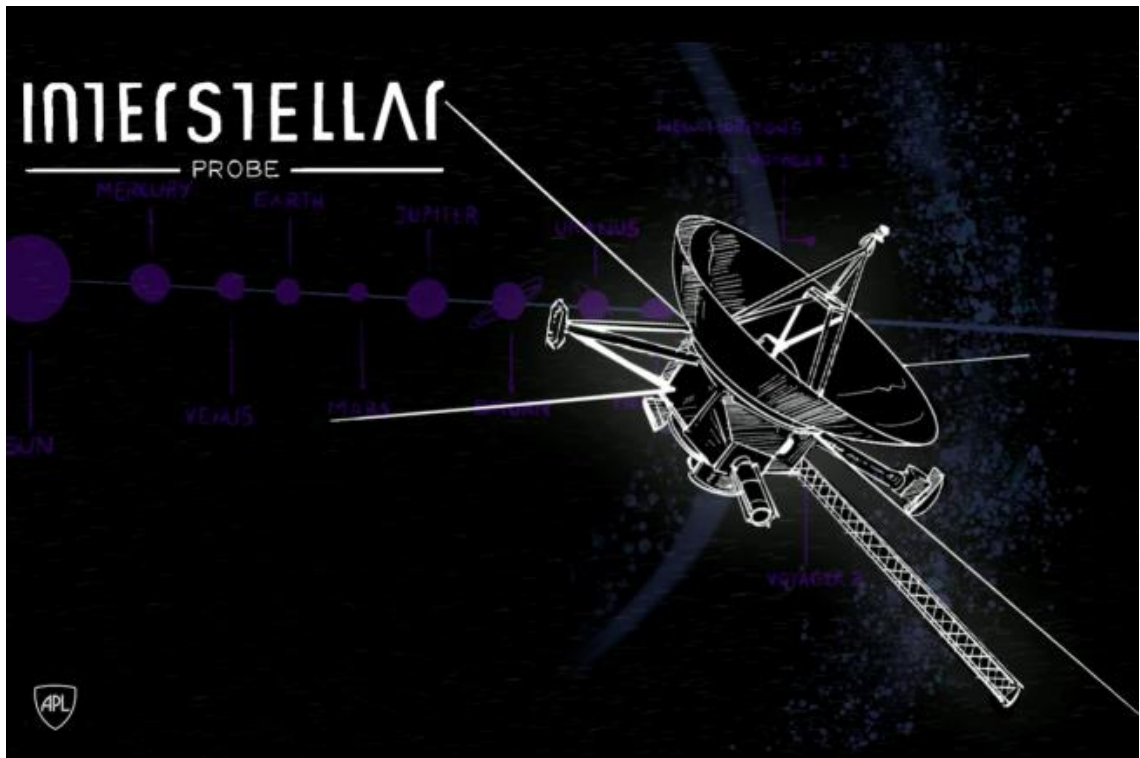
Трофимов С.П.²

¹Московский физико-технический институт (МФТИ)

²Институт прикладной математики им. М.В. Келдыша РАН

Москва, 2023

Проекты перспективных миссий в дальний космос

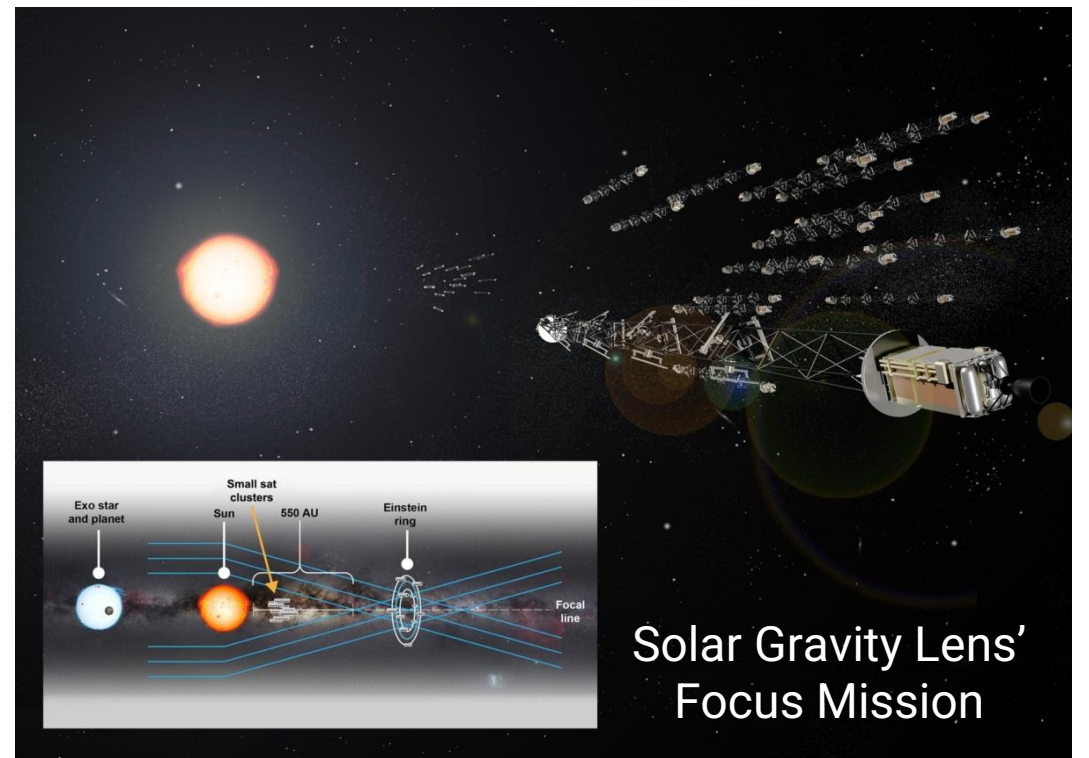


Цель – исследование гелиосферы

Запуск - 2036

V_{∞} 7 а.е./год

Длительность – 50 лет



Цель – наблюдения в фокусе солнечной гравитационной линзы

V_{∞} 25 а.е./год

Групповой полёт

Длительность ~ 40 лет

Схемы разгона перспективных миссий в дальний космос

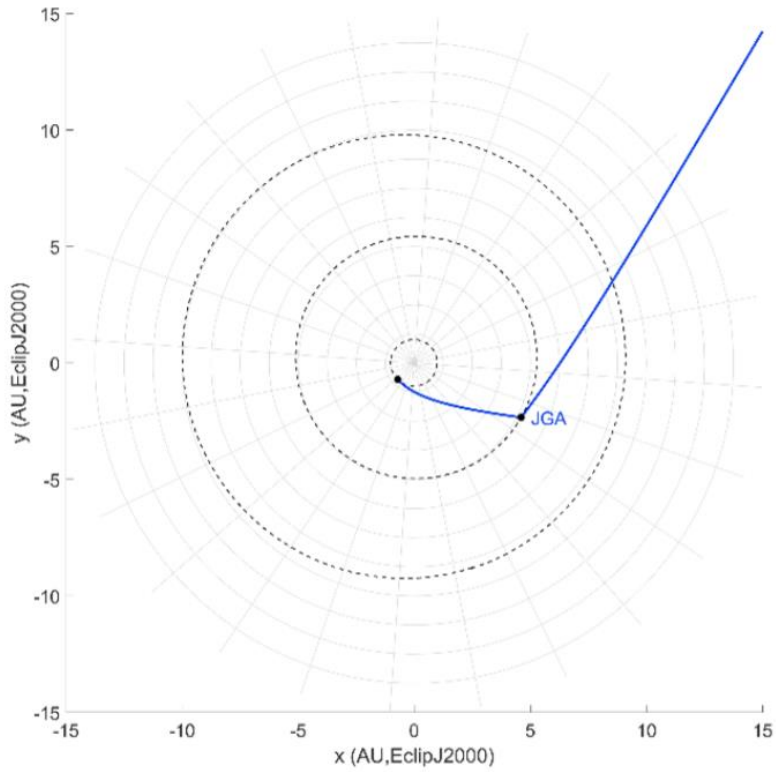


Схема полёта Interstellar Probe с пассивным грав. манёвром у Юпитера

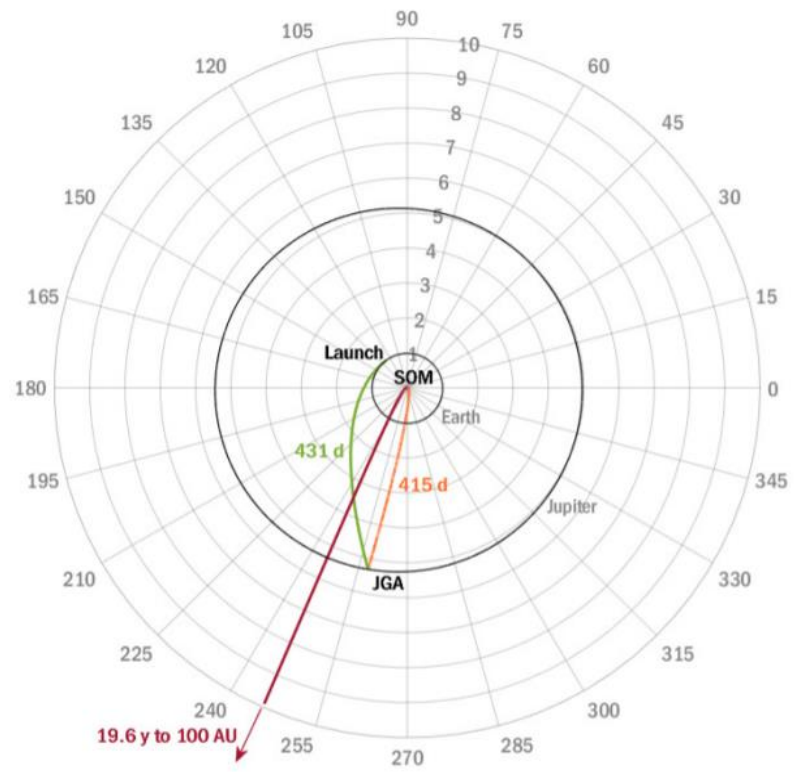


Схема полёта Interstellar Probe с пассивным грав. манёвром у Юпитера и импульсом в перигелии

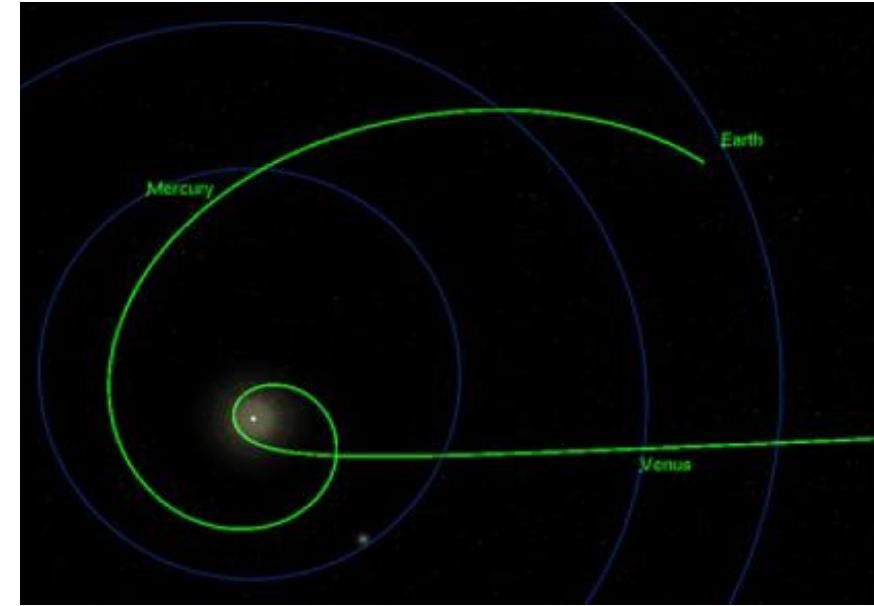


Схема полёта миссии к фокусу Солнца с разгоном в перигелии с помощью солнечного паруса

Существующие проблемы

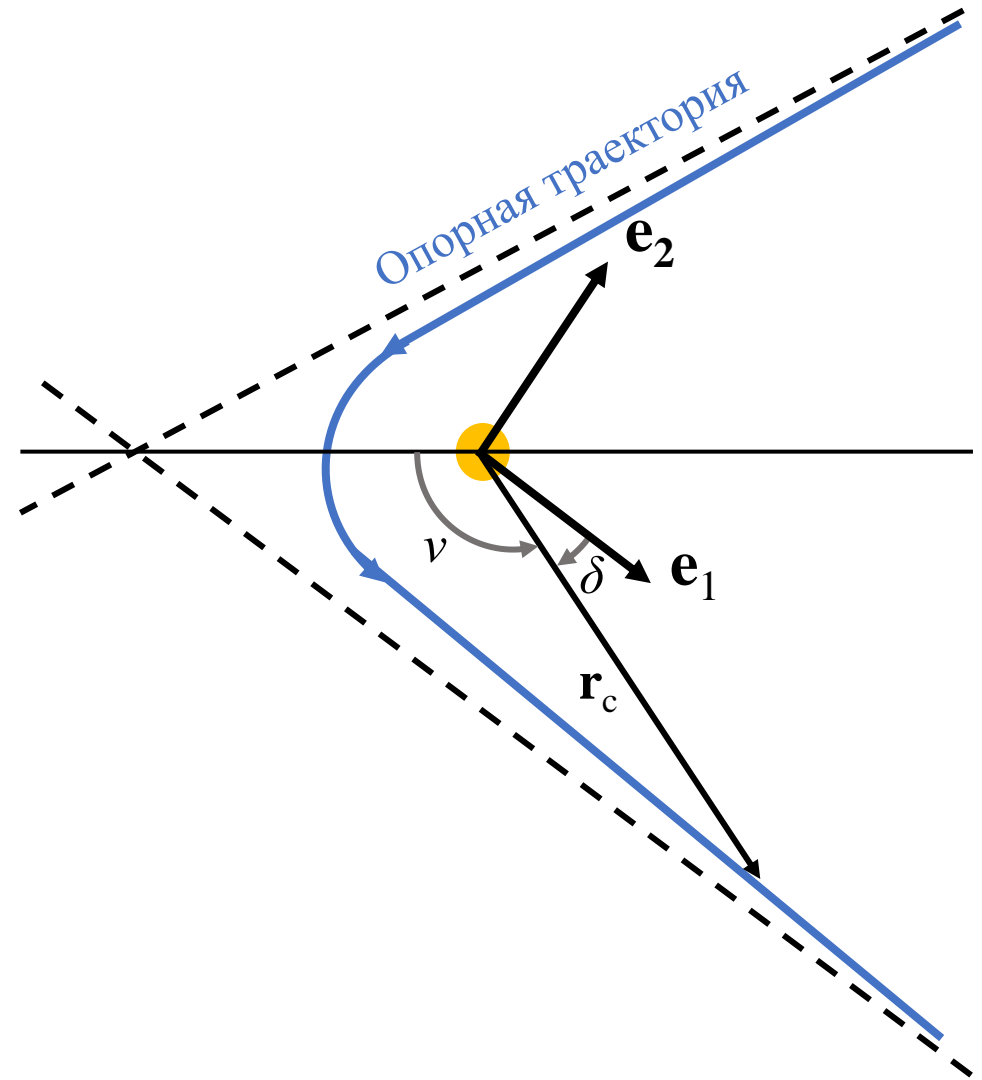
- Является открытым вопрос выбора способа разгона КА для достижения высоких гиперболических скоростей
 - Химические двигатели – дорого и неоптимально
 - Солнечные паруса – сложно управлять
- Является открытым вопрос выбора оптимального набора навигационных измерений на гиперболических траекториях
- Отсутствуют наглядные модели относительного движения на гиперболических траекториях
 - Нужно проектировать конфигурацию группы
 - Нужно планировать коррекционные манёвры
- Есть также и технические проблемы: коммуникация, энергетика, теплозащита, охлаждение, радиационная стойкость и т.д.

Цель работы

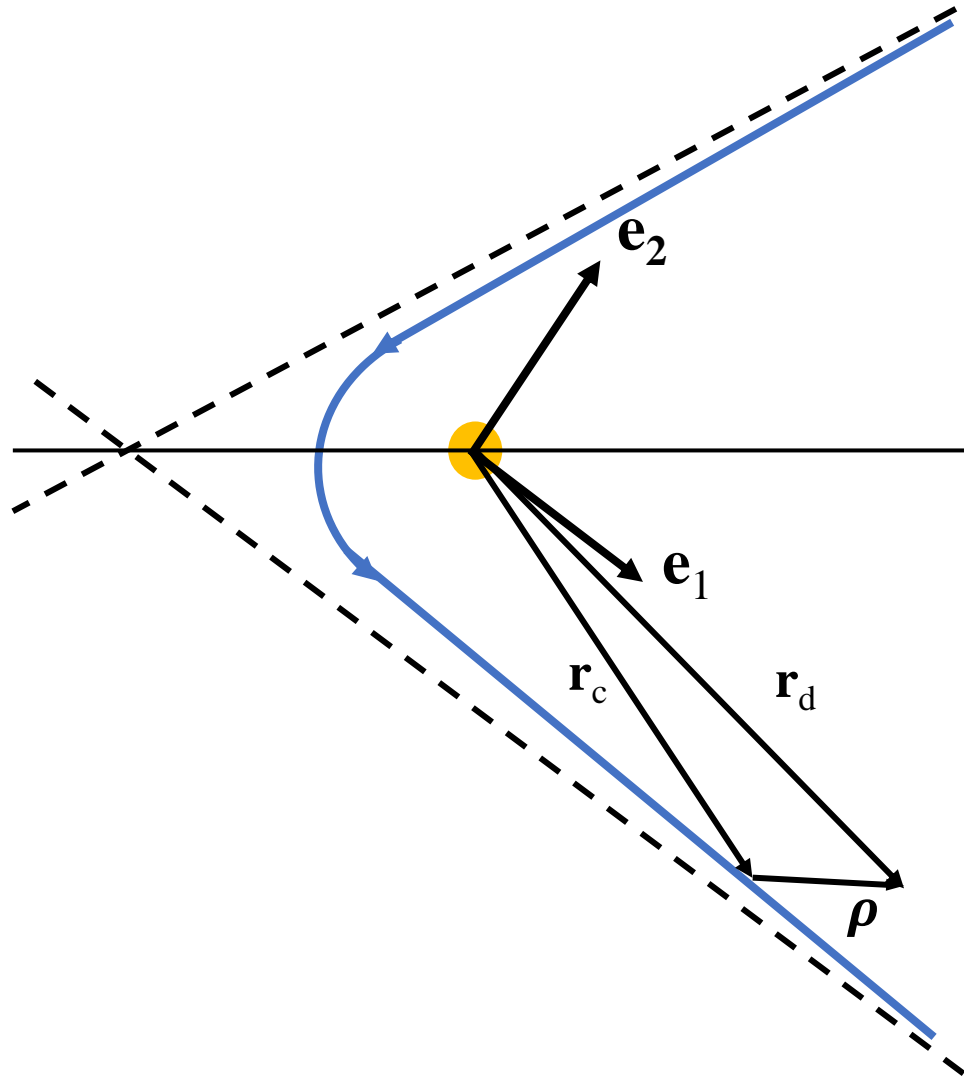
- Найти удобный способ описания и проектирования относительного движения на гиперболических траекториях
- Изучить возможные типы относительного движения на гиперболических траекториях

Асимптотическая система координат

- Задаётся опорная траектория
 - В модели задачи двух тел
- Вводится инерциальная система координат
 - Начало отсчёта – притягивающий центр
 - \mathbf{e}_1 – по уходящей асимптоте
 - \mathbf{e}_2 – до правой тройки
 - \mathbf{e}_3 – по интегралу площадей
- Вводится параметр δ
 - \mathbf{r}_c – радиус-вектор ведущего аппарата
 - ν – истинная аномалия ведущего аппарата
 - $\nu \in (-\nu_{max}, \nu_{max}), \nu_{max} = \arccos\left(\frac{-1}{e}\right)$
 - $\delta = \nu_{max} - \nu$
 - $\delta \in (0, 2\nu_{max}), \lim_{t \rightarrow +\infty} \delta = +0, \dot{\delta} < 0$
 - $\delta \sim \frac{1}{|\mathbf{r}_c|}$



Линеаризованные уравнения относительного движения



\mathbf{r}_c – радиус-вектор ведущего аппарата

\mathbf{r}_d – радиус-вектор ведомого аппарата

$\boldsymbol{\rho} = \mathbf{r}_d - \mathbf{r}_c$ – вектор относительного положения ведомого аппарата

$$\ddot{\boldsymbol{\rho}} = -\frac{\mu(\mathbf{r}_c + \boldsymbol{\rho})}{|\mathbf{r}_c + \boldsymbol{\rho}|^3} + \frac{\mu\mathbf{r}_c}{|\mathbf{r}_c|^3}$$

Линеаризация в окрестности $\boldsymbol{\rho} = \mathbf{0}$

$$\ddot{\boldsymbol{\rho}} = -\frac{\mu\mathbf{r}_c}{|\mathbf{r}_c|^3} (\boldsymbol{\rho} - 3(\mathbf{e}_c, \boldsymbol{\rho})\mathbf{e}_c)$$

$$\mathbf{e}_c = \frac{\mathbf{r}_c}{|\mathbf{r}_c|} = \begin{pmatrix} \cos \delta \\ -\sin \delta \\ 0 \end{pmatrix}_{\text{АСК}}$$

Решение линеаризованных уравнений

Далее обозначаем

$$\mathbf{x} = \begin{pmatrix} \boldsymbol{\rho} \\ \dot{\boldsymbol{\rho}} \end{pmatrix}, \Delta t = t - t_0,$$

$$\mathbf{r} \equiv \mathbf{r}_c, \mathbf{v} \equiv \dot{\mathbf{r}}_c,$$

$$\mathbf{c} = \mathbf{r} \times \mathbf{v},$$

$$\begin{bmatrix} \begin{pmatrix} \mathbf{a}_1 \\ \mathbf{a}_2 \\ \mathbf{a}_3 \end{pmatrix} \end{bmatrix} = \begin{pmatrix} 0 & -\mathbf{a}_3 & \mathbf{a}_2 \\ \mathbf{a}_3 & 0 & -\mathbf{a}_1 \\ -\mathbf{a}_2 & \mathbf{a}_1 & 0 \end{pmatrix}.$$

Δt – входит только
в последний столбец Y

$$\det Y \neq 0$$

$$\mathbf{x}(t) = \Phi(t, t_0)\mathbf{x}(t_0)$$

$\Phi(t, t_0)$ – переходная матрица линеаризованной системы

Согласно [1], в инерциальной СК при $\mathbf{e} \neq \mathbf{1}$

$$\Phi(t, t_0) = Y(t, t_0) Y^{-1}(t_0, t_0), \quad Y(t, t_0) = Y(\mathbf{r}(t), \mathbf{v}(t), \Delta t)$$

$$Y(\mathbf{r}(t), \mathbf{v}(t), \Delta t) = \begin{pmatrix} [\mathbf{r}] & -([\mathbf{r}][\mathbf{v}] + [\mathbf{c}])B & -\mathbf{r} + \frac{3}{2}\mathbf{v}\Delta t \\ [\mathbf{v}] & \left(\frac{\mu}{|\mathbf{r}|^3}[\mathbf{r}]^2 - [\mathbf{v}]^2\right)B & \frac{1}{2}\mathbf{v} - \frac{3\mu}{2|\mathbf{r}|^3}\mathbf{r}\Delta t \end{pmatrix}$$

$$B_{3 \times 2} = (\mathbf{b}_1, \mathbf{b}_2), \text{rank}(B) = 2, \mathbf{b}_1 \perp \mathbf{c}, \mathbf{b}_2 \perp \mathbf{c}$$

В качестве $\mathbf{b}_1, \mathbf{b}_2$ возьмём $\frac{|\mathbf{c}|}{\mu}\mathbf{e}_1$ и $\frac{|\mathbf{c}|}{\mu}\mathbf{e}_2$

Решение линеаризованных уравнений

Преобразуем матрицу Y

$$Y \rightarrow \frac{\mu}{|\mathbf{c}|^2} Y G^{-1}$$

$$G = \begin{pmatrix} 0 & 0 & -\frac{1}{\eta} & 0 & 2 & 0 \\ 0 & 0 & -\frac{1}{\eta} & 0 & 1 & 0 \\ 0 & 0 & \frac{1}{2\eta^2} & -1 & \frac{1}{2\eta} & 0 \\ 0 & \frac{1}{\eta} & 0 & 0 & 0 & 0 \\ \frac{1}{\eta} & -\frac{1}{2\eta^2} & 0 & 0 & 0 & 0 \\ 0 & 0 & 0 & 0 & 0 & 1 \end{pmatrix}$$

$$\eta = \sqrt{e^2 - 1}, \quad \det G \neq 0$$

Обозначим столбец констант

$$\xi = Y^{-1}(t_0, t_0) \mathbf{x}_0 = \begin{pmatrix} \alpha_0 \\ \beta_{-1} \\ \beta_0 \\ \gamma_{-1} \\ \gamma_0 \\ \xi_6 \end{pmatrix} \text{ (биекция)}$$

Тогда можно записать

$$\mathbf{x}(t) = Y(t, t_0) \xi = Y(\delta(t), \delta(t_0)) \xi$$

Далее рассмотрим случай $\xi_6 = 0$

→ $\mathbf{x}(t)$ не содержит явного вхождения Δt

Решение линеаризованных уравнений

$$\begin{pmatrix} x \\ y \\ z \\ v_x \\ v_y \\ v_z \end{pmatrix} = \mathbf{x}(t) = Y(\delta, \delta_0) \boldsymbol{\xi}$$

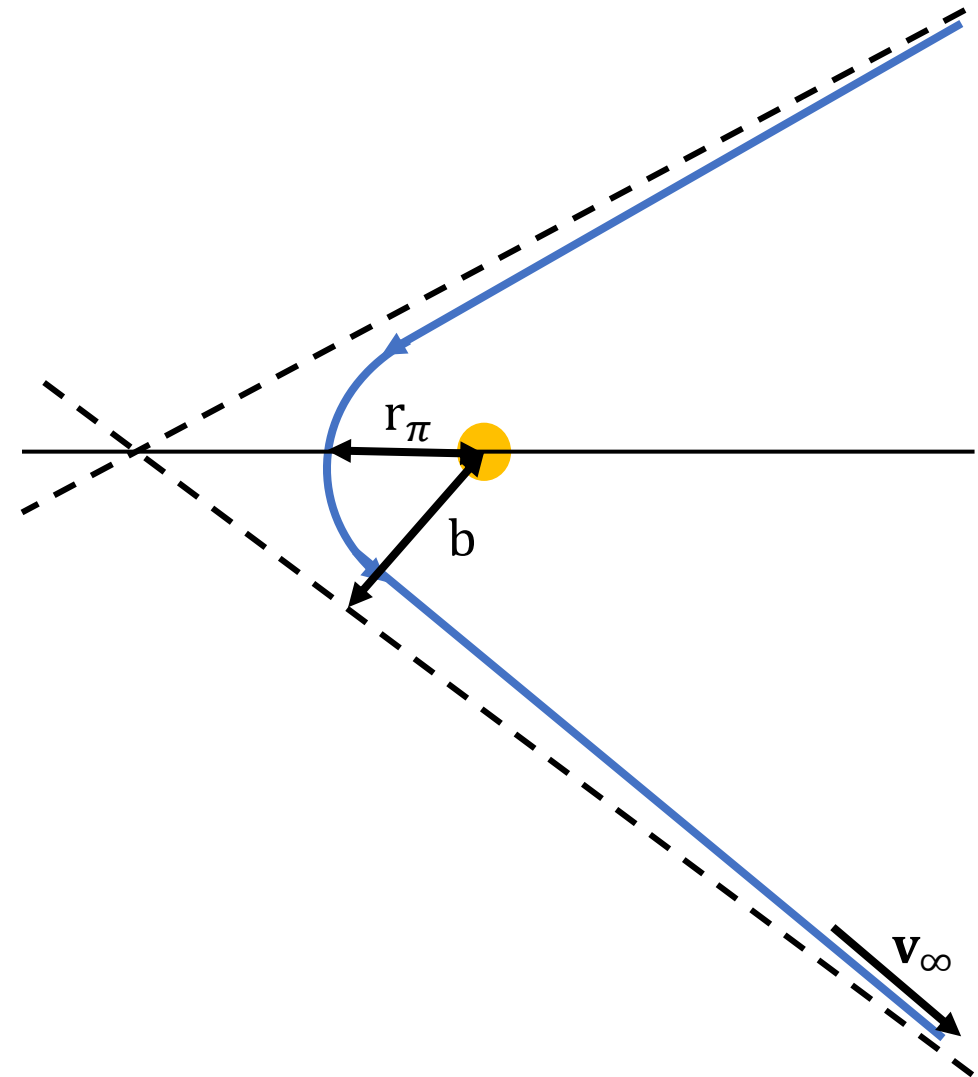
Разложим $Y(\delta, \delta_0)$ в ряд по δ в окрестности +0

$$\begin{aligned} x &= \alpha_0 + \delta \left(\frac{\alpha_0}{\eta} - \frac{3\beta_{-1}}{2\eta} \right) - \frac{\beta_0 \delta^2}{2\eta} + O(\delta^3) \\ y &= \frac{\beta_{-1}}{\delta} + \beta_0 + \delta \left(-\frac{\beta_{-1}}{3} - \frac{\beta_0}{2\eta} \right) + \delta^2 \left(-\frac{\alpha_0}{2\eta} + \frac{5\beta_{-1}}{8\eta} + \frac{\beta_0}{4\eta^2} \right) + O(\delta^3) \\ z &= \frac{\gamma_{-1}}{\delta} + \gamma_0 + \delta \left(-\frac{\gamma_{-1}}{3} - \frac{\gamma_0}{2\eta} \right) + \delta^2 \left(\frac{\gamma_{-1}}{8\eta} + \frac{\gamma_0}{4\eta^2} \right) + O(\delta^3) \end{aligned}$$

Тип относительного движения можно приближённо анализировать, оставив только несколько старших слагаемых рядов

Опорная траектория

- Гиперболическая гелиоцентрическая
- Гип. избыток $v_{\infty} = 119 \frac{\text{км}}{\text{с}} \approx 25 \frac{\text{а.е.}}{\text{год}}$
- Эксцентриситет $e = 1.8$
- Прицельная дальность $b = 0.09 \text{ а.е.}$
- Перигелий $r_{\pi} = 0.05 \text{ а.е.}$
- Большая полуось $a = 0.06 \text{ а.е.}$



Возможные типы относительного движения – случай 1

$$\begin{aligned}x &= \alpha_0 + \delta \left(\frac{\alpha_0}{\eta} - \frac{3\beta_{-1}}{2\eta} \right) - \frac{\beta_0 \delta^2}{2\eta} + O(\delta^3) \\y &= \frac{\beta_{-1}}{\delta} + \beta_0 + \delta \left(-\frac{\beta_{-1}}{3} - \frac{\beta_0}{2\eta} \right) + \delta^2 \left(-\frac{\alpha_0}{2\eta} + \frac{5\beta_{-1}}{8\eta} + \frac{\beta_0}{4\eta^2} \right) + O(\delta^3) \\z &= \frac{\gamma_{-1}}{\delta} + \gamma_0 + \delta \left(-\frac{\gamma_{-1}}{3} - \frac{\gamma_0}{2\eta} \right) + \delta^2 \left(\frac{\gamma_{-1}}{8\eta} + \frac{\gamma_0}{4\eta^2} \right) + O(\delta^3)\end{aligned}$$

$$\lim_{t \rightarrow +\infty} \delta = +0, \dot{\delta} < 0$$

Пусть $\beta_{-1} \neq 0, \gamma_{-1} \neq 0, \alpha_0 \neq 0$, тогда движение

- в плоскости Oyz будет происходить **инфинит но** по лучу (с точностью $O(\delta)$)

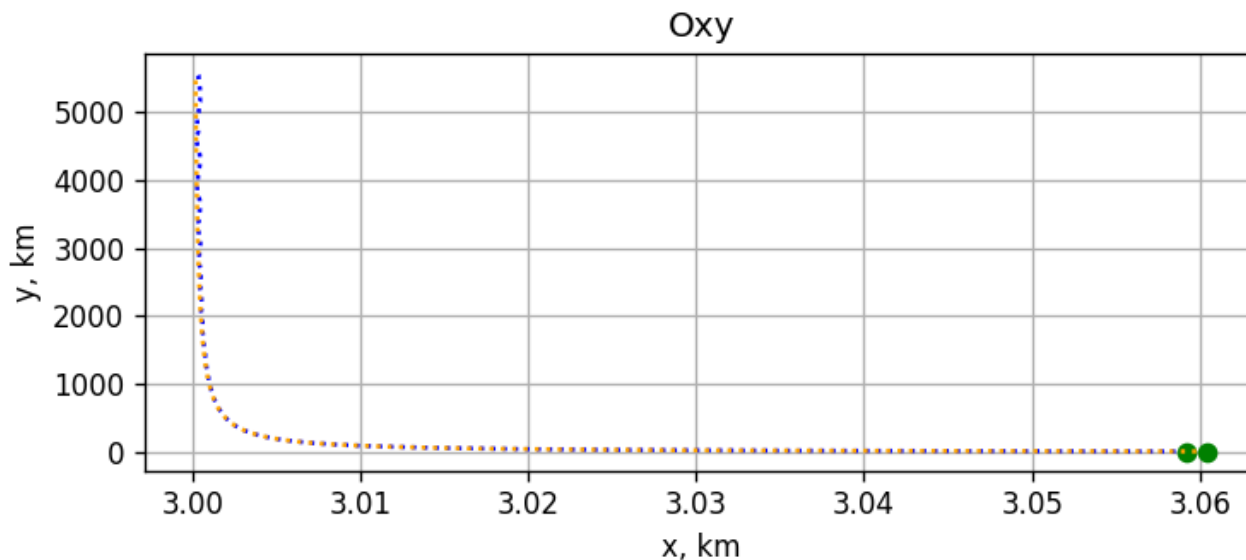
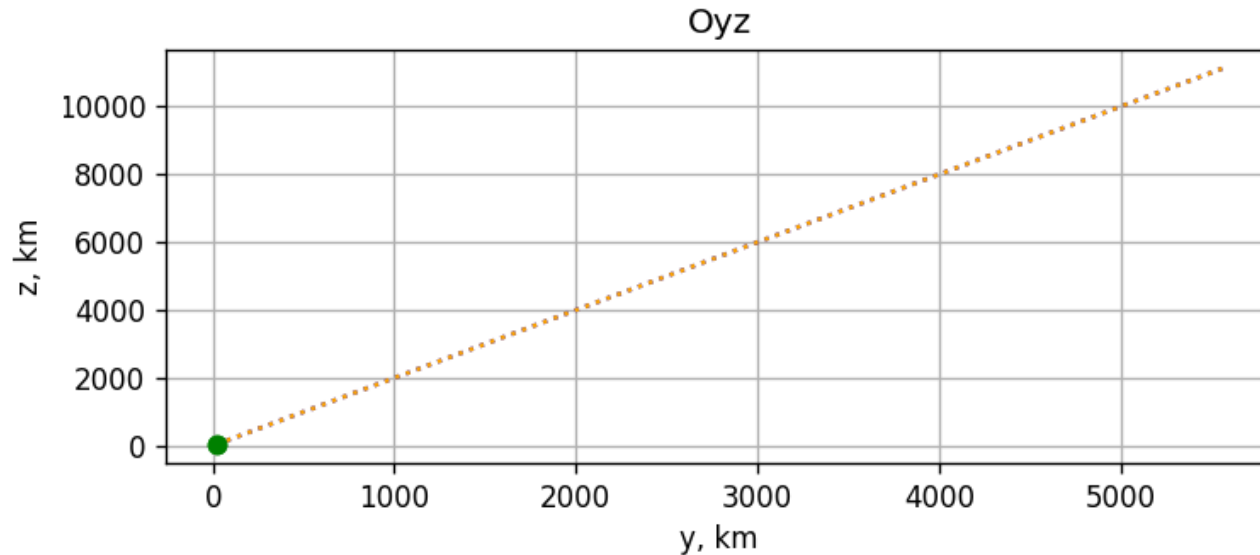
$$\begin{pmatrix} y \\ z \end{pmatrix} = \begin{pmatrix} \beta_0 \\ \gamma_0 \end{pmatrix} + \begin{pmatrix} \beta_{-1} \\ \gamma_{-1} \end{pmatrix} \tau, \quad \tau \in \overrightarrow{\left[\frac{1}{\delta_0}, +\infty \right)}$$

- в плоскости Oxy будет происходить **инфинит но** по гиперболе (с точностью $O(\delta)$)

$$y = \beta_0 + \frac{\beta_{-1}(\alpha_0 - \frac{3}{2}\beta_{-1})}{\eta(x - \alpha_0)}$$

- в плоскости Oxz будет аналогично движению в плоскости Oxy

Возможные типы относительного движения – случай 1



$$\alpha_0 = 3,$$
$$\beta_{-1} = 1, \beta_0 = 1,$$
$$\gamma_{-1} = 2, \gamma_0 = 2, \xi_6 = 0$$



Полученные
аналитические кривые



Результат численного
моделирования

● Начальное положение
($t = t_0$)

$$|\mathbf{r}(t_0)| = 1.52 \text{ а. е. } (\delta_0 \approx 0.0603)$$

$$|\mathbf{r}(t_f)| = 520 \text{ а. е. } (\delta_f \approx 0.0002)$$

Возможные типы относительного движения – случай 2

$$\begin{aligned}x &= \alpha_0 + \delta \left(\frac{\alpha_0}{\eta} - \frac{3\beta_{-1}}{2\eta} \right) - \frac{\beta_0 \delta^2}{2\eta} + O(\delta^3) \\y &= \frac{\beta_{-1}}{\delta} + \beta_0 + \delta \left(-\frac{\beta_{-1}}{3} - \frac{\beta_0}{2\eta} \right) + \delta^2 \left(-\frac{\alpha_0}{2\eta} + \frac{5\beta_{-1}}{8\eta} + \frac{\beta_0}{4\eta^2} \right) + O(\delta^3) \\z &= \frac{\gamma_{-1}}{\delta} + \gamma_0 + \delta \left(-\frac{\gamma_{-1}}{3} - \frac{\gamma_0}{2\eta} \right) + \delta^2 \left(\frac{\gamma_{-1}}{8\eta} + \frac{\gamma_0}{4\eta^2} \right) + O(\delta^3)\end{aligned}$$

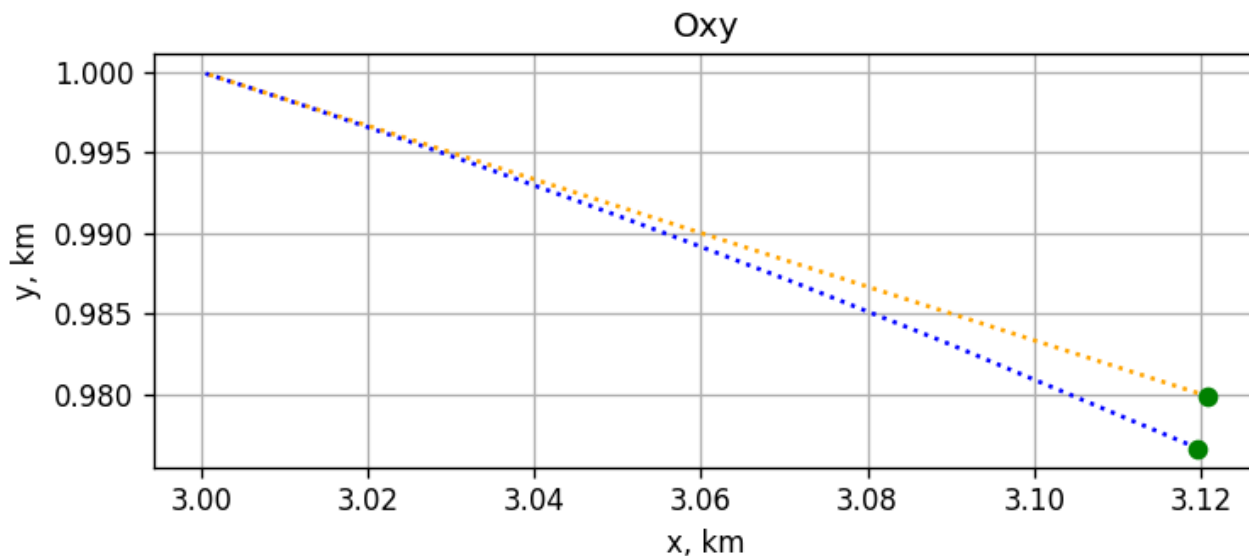
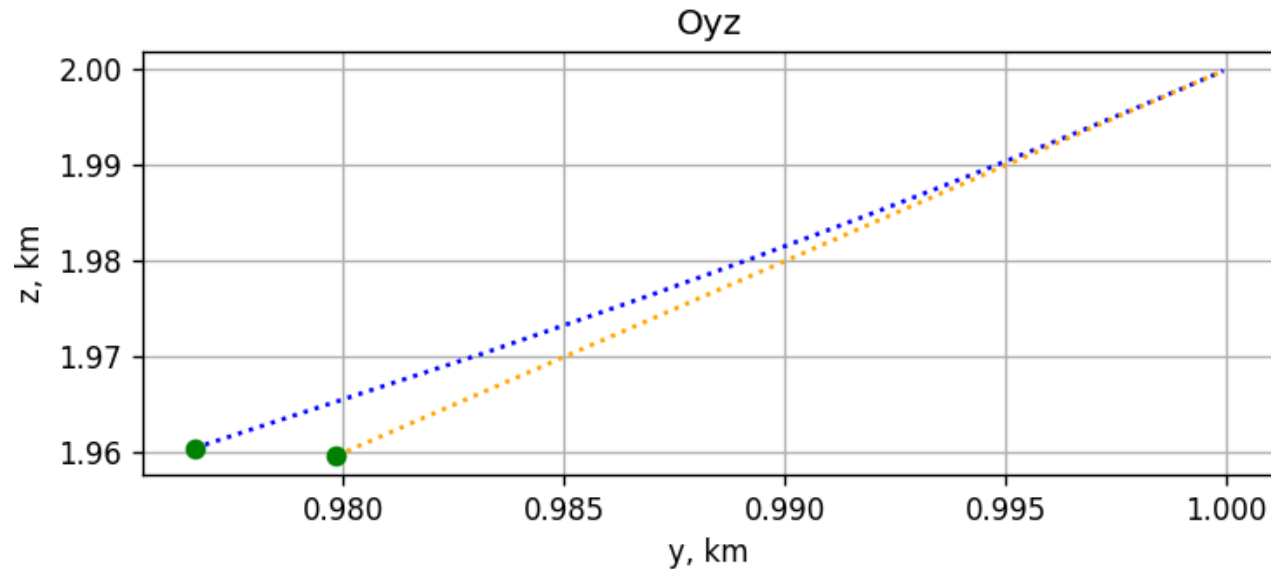
$$\lim_{t \rightarrow +\infty} \delta = +0, \dot{\delta} < 0$$

Пусть $\beta_{-1} = 0$, $\gamma_{-1} = 0$, $\beta_0 \neq 0$, $\gamma_0 \neq 0$, $\alpha_0 \neq 0$, тогда движение

- в пространстве будет происходить **финит но** по отрезку (с точностью до $O(\delta^2)$)

$$\begin{pmatrix} x \\ y \\ z \end{pmatrix} = \begin{pmatrix} \alpha_0 \\ \beta_0 \\ \gamma_0 \end{pmatrix} + \begin{pmatrix} 2\alpha_0 \\ -\beta_0 \\ -\gamma_0 \end{pmatrix} \frac{\tau}{2\eta}, \quad \tau \in \overleftarrow{(0, \delta_0]}$$

Возможные типы относительного движения – случай 2



$$\alpha_0 = 3,$$
$$\beta_{-1} = 0, \beta_0 = 1,$$
$$\gamma_{-1} = 0, \gamma_0 = 2, \xi_6 = 0$$



Полученные
аналитические кривые



Результат численного
моделирования

● Начальное положение
($t = t_0$)

$$|\mathbf{r}(t_0)| = 1.52 \text{ а. е. } (\delta_0 \approx 0.0603)$$

$$|\mathbf{r}(t_f)| = 520 \text{ а. е. } (\delta_f \approx 0.0002)$$

Связь констант ξ и начальных отклонений

Пусть дан вектор констант ξ , тогда соответствующий ему вектор начальных отклонений можно найти из

$$\mathbf{x}_0 = Y(\delta_0, \delta_0)\xi$$

Например, $\xi = (3, 1, 1, 2, 2, 0) \rightarrow$

$$\mathbf{x}_0 = (3.06 \text{ км}, 17.53 \text{ км}, 35.07 \text{ км}, -0.03 \frac{\text{мм}}{\text{с}}, 8.87 \frac{\text{мм}}{\text{с}}, 17.74 \frac{\text{мм}}{\text{с}})$$

Пусть даны условия на вектор констант ξ в виде СЛАУ

$$A\xi = \mathbf{q}$$

Тогда соответствующие условия на вектор \mathbf{x}_0 – тоже СЛАУ

$$AY^{-1}(\delta_0, \delta_0)\mathbf{x}_0 = \mathbf{q}$$

$$\text{Например, } \xi_6 = 0 \rightarrow \frac{2b^2}{|\mathbf{r}_0|^2} (x_0 \cos \delta_0 - y_0 \sin \delta_0) + \frac{2b}{v_\infty} \left[v_{x_0} (\eta + \sin \delta_0) - v_{y_0} (1 - \cos \delta_0) \right] = 0$$

$$\gamma_{-1} = 0 \rightarrow \frac{1}{\eta} \left(\frac{b|\mathbf{r}_0|}{a} \frac{v_{z_0}}{v_\infty} \sin \delta_0 - z_0 (1 - \cos \delta_0) \right) = 0$$

Заключение

- Предложена система координат (асимптотическая СК), удобная для описания гиперболического движения
- Выписано решение линеаризованных уравнений, выраженное через параметры гиперболического движения
- Выписаны в общем виде уравнения, определяющие условия на вектор начальных отклонений в зависимости от значения/условий на вектор ξ
 - Записаны условия отсутствия векового дрейфа
- Выписаны в виде рядов по малому параметру (δ) выражения для относительных положения и скорости *в частном случае* $\xi_6 = 0$
 - Проанализированы возможные типы относительного движения

Динамика относительного движения

[17] Melton, R.G. (2022). Relative Motion Between Hyperbolic Trajectories – A Technical Footnote. *73rd International Astronautical Congress*, Paris, France.

[16] Willis, M., Alfriend, K. T., & D'Amico, S. (2019). Second-order solution for relative motion on eccentric orbits in curvilinear coordinates. *arXiv preprint arXiv:1909.02146*.

- В работе [17] показывается, что результаты работы [16] справедливы для гиперболического случая

- Полученные результаты совершенно ненаглядны

- В работе [18] сделана попытка описать и линеаризовать относительно гиперболическое движение в более подходящей СК

- На малых промежутках времени (1500 с) результаты достаточно точные и наглядные

- Не представлено аналитическое решение

[18] Albert, S. W., & Schaub, H. RELATIVE MOTION ON HYPERBOLIC ATMOSPHERIC ENTRY TRAJECTORIES.

$$\begin{aligned}\hat{\rho} = & K_1 \left(1 - \frac{3}{2} ekJ(t) \sin f \right) + K_2 k \sin f + K_3 k \cos f \\ & + c_{\rho j} \left(1 - \frac{3}{2} ekJ(t) \sin f \right) + c_{\rho s} k \sin f + c_{\rho c} k \cos f \\ & + K_1^2 \left(\frac{1}{4} + \frac{9}{8} k^3 J(t)^2 e \cos f \right) \\ & - \frac{3}{2} (K_1 K_2 \cos f - K_1 K_3 \sin f) k^3 J(t) \\ & + K_2^2 \left[\left(-\frac{e^2}{2} \sin^2 f + \frac{3}{2} (k-1) + \frac{1}{1-e^2} \right) \cos^2 f \right. \\ & \left. + \frac{e(1+e^2) \cos f}{2(1-e^2)} \right] \\ & + K_2 K_3 \frac{(ek^2 - (1+k) \cos f) k \sin f}{1-e^2} \\ & + K_3^2 \frac{k(3-k-k^2+k^3 - (1+k)(e^2 + \cos^2 f))}{2(1-e^2)}\end{aligned}$$

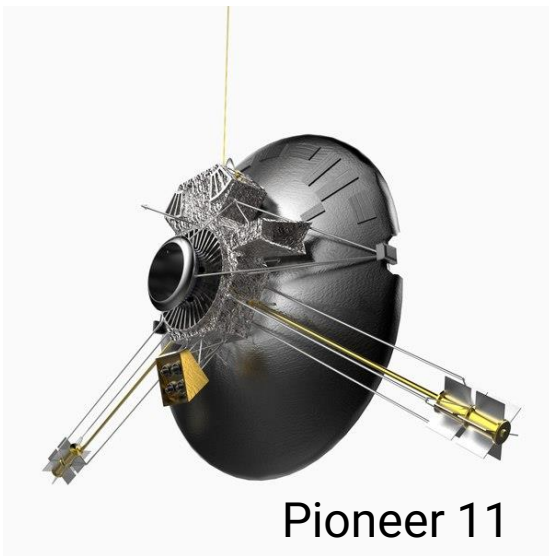
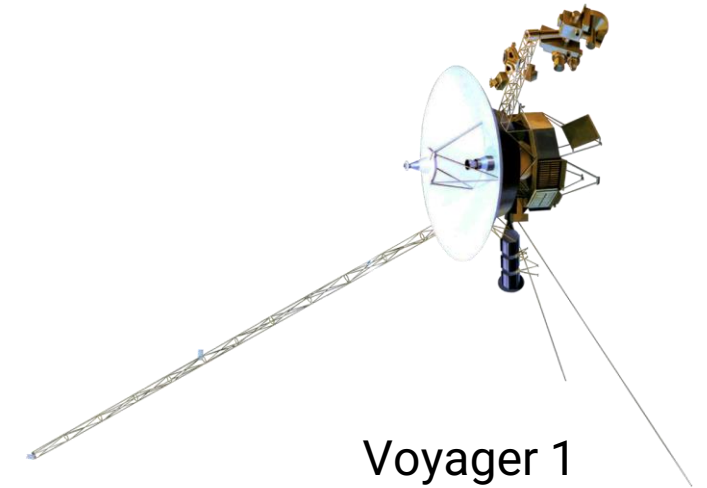
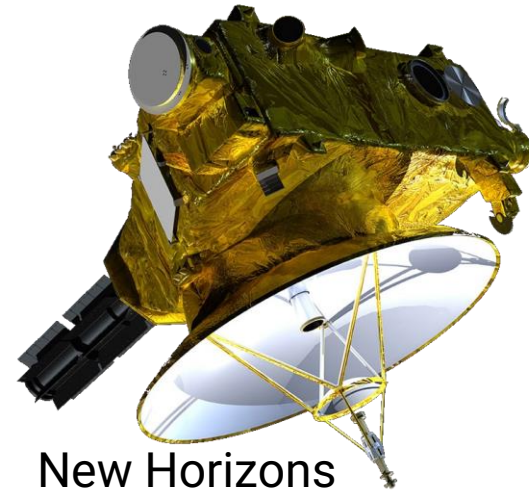
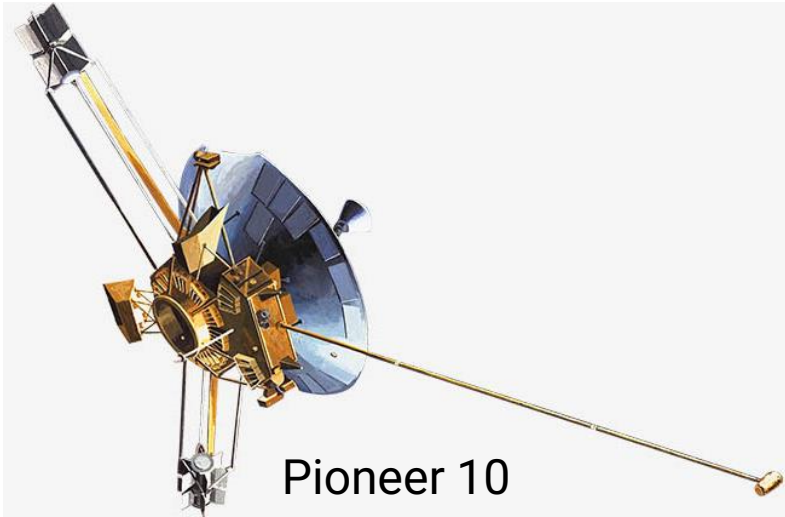
Дальнейшее развитие исследования

- Переписать условия (СЛАУ) на начальные отклонения в виде условий (СЛАУ) на дифференциальные орбитальные элементы
- Избавиться от требования $\xi_6 = 0$, выразив Δt в виде ряда по δ
 - Изучить типы относительного движения в данном случае

$$Y(\delta, \delta_0) = \begin{array}{ccc} 1 + \frac{\delta}{b_e} + O(\delta^3) & -\frac{3\delta}{2b_e} + O(\delta^3) & -\frac{\delta^2}{2b_e} + O(\delta^3) \\ -\frac{\delta^2}{2b_e} + O(\delta^3) & \frac{1}{\delta} - \frac{\delta}{3} + \frac{5\delta^2}{8b_e} + O(\delta^3) & 1 - \frac{\delta}{2b_e} + \frac{\delta^2}{4b_e^2} + O(\delta^3) \\ 0 & 0 & 0 \\ -\frac{\delta^2 \mu^2 b_e}{C^3} + O(\delta^3) & \frac{3\delta^2 \mu^2 b_e}{2C^3} + O(\delta^3) & O(\delta^3) \\ O(\delta^3) & \frac{\mu^2 b_e^2}{C^3} + \frac{\delta \mu^2 b_e}{C^3} + \frac{\delta^2 \mu^2}{4C^3} + O(\delta^3) & \frac{\delta^2 \mu^2 b_e}{2C^3} + O(\delta^3) \\ 0 & 0 & 0 \end{array}$$

$$\begin{array}{ccc} 0 & 0 & \frac{3\Delta_t \mu^2 b_e}{2C^3} + \frac{3\Delta_t \delta \mu^2}{2C^3} - \frac{1}{\delta b_e} + \frac{1}{2b_e^2} - \frac{\delta}{4b_e^3} + \frac{\delta}{3b_e} + \frac{\delta^2}{8b_e^4} - \frac{\delta^2}{8b_e^2} + O(\delta^3) \\ 0 & 0 & -\frac{3\Delta_t \delta^2 \mu^2}{4C^3} + \frac{1}{b_e} - \frac{\delta}{2b_e^2} + \frac{\delta^2}{4b_e^3} + O(\delta^3) \\ \frac{1}{\delta} - \frac{\delta}{3} + \frac{\delta^2}{8b_e} + O(\delta^3) & 1 - \frac{\delta}{2b_e} + \frac{\delta^2}{4b_e^2} + O(\delta^3) & 0 \\ O(0) & O(0) & -\frac{3\Delta_t \delta^2 \mu^4 b_e^2}{2C^6} + \frac{\mu^2 b_e}{2C^3} + \frac{\delta \mu^2}{2C^3} + O(\delta^3) \\ 0 & 0 & -\frac{\delta^2 \mu^2}{4C^3} + O(\delta^3) \\ \frac{\mu^2 b_e^2}{C^3} + \frac{\delta \mu^2 b_e}{C^3} + \frac{\delta^2 \mu^2}{4C^3} + O(\delta^3) & \frac{\delta^2 \mu^2 b_e}{2C^3} + O(\delta^3) & 0 \end{array}$$

Успешные миссии в дальнем космосе



Единственные аппараты,
имеющие гиперболическую
гелиоцентрическую траекторию

